

SERIA HARDWARE
NR. 1.
AS COMPUTER - Press Timisoara 1991

CIRCUITE LOGICE INTEGRATE

TTL-1

SOCIETATE CU RASPUNDERE LIMITATA

AS - COMPUTER R. M. S.

COMPANIE ROMANO-GERMANA

TIMISOARA TEL. 961 - 24117

VA OFERA :

- calculatoare compatibile PC/AT 286,386,486 produse de firma germana SCHADT
COMPUTERTECHNIC GmbH - in orice configuratie
- imprimante, plottere, scannere, etc.
- calculatoare de birou
- retele PC

- instalare si punere in functiune la beneficiar
- garantie 12 luni - raspuns la sesizare in maxim 72 ore
- service in post-garantie
- cursuri de initiere si perfectionare
- consulting
- proiectare hard si soft

- preturi avantajoase, negociabile exclusiv in lei

PREFAȚĂ

Materialul de față își propune să vină în întâmpinarea numeroșilor utilizatori de circuite integrate TTL, CMOS sau ECL. În acest sens s-a considerat deosebit de utilă prezentarea, sub formă condensată, a unui catalog de astfel de circuite integrate, care să conțină informațiile esențiale pentru activitatea curentă a unui utilizator de circuite integrate numerice.

Selecția principalilor parametri s-a făcut pe baza unei bogate experiențe didactice și practice, considerându-se că pentru marea majoritate a aplicațiilor un catalog condensat satisface cerințele utilizatorilor.

Pentru întocmirea catalogului condensat s-au studiat un număr important de cataloage și date tehnice furnizate de principalele firme producătoare de circuite integrate. S-a încercat totodată, o prezentare a acestui compendiu de circuite integrate într-un mod cât mai unitar, fără a neglija unele particularități specifice anumitor tipuri de circuite integrate numerice.

Catalogul condensat care urmează a fi prezentat în mai multe fascicule, v-a cuprins toată gama de circuite integrate numerice din cadrul familiilor TTL, CMOS și ECL, existente în prezent pe piața mondială.

În primul fascicol se vor prezenta pe scurt modul de definire a parametrilor circuitelor integrate cât și primele 100 de tipuri de circuite integrate TTL.

În următoarele se va continua cu prezentarea următoarelor 700 de tipuri de circuite integrate TTL, intenționând ca să intercalăm și unele aspecte specifice acestei familii de circuite integrate, astfel încât utilizatorul să aibă o viziune cât mai completă asupra avantajelor și eventualelor dezavantaje pe care le implică realizarea unor sisteme numerice folosind astfel de circuite.

În mod asemănător ne propunem abordarea și celorlalte două familii de circuite integrate CMOS și ECL.

Seria prezentărilor celor mai importante circuite integrate numerice se dorește să se termine cu o selecție de aplicații utile.

Coordonator
Mircea STRATULAT

ARTISTE

Il mondo dell'arte è un mondo in continua evoluzione, dove le idee si scontrano e si fondono, creando nuove forme e linguaggi. Gli artisti sono i protagonisti di questo processo, portatori di visioni e sentimenti che trascendono i confini del tempo e dello spazio. La loro opera è un dialogo con il mondo, un modo di dire che si esprime attraverso la pittura, la scultura, la fotografia o il video. In un'epoca di rapidi cambiamenti e di sfide globali, l'arte continua a essere un mezzo potente per esplorare l'identità, la cultura e l'umanità. Gli artisti contemporanei sfidano le convenzioni, sperimentano con i materiali e i supporti, e aprono nuovi orizzonti di significato. La loro opera è un riflesso del loro tempo, un modo di dire che si evolve e si trasforma. In un mondo sempre più complesso e interconnesso, l'arte ci offre uno spazio di riflessione e di dialogo, un modo di dire che ci aiuta a comprendere il mondo e a noi stessi. Gli artisti sono i protagonisti di questo processo, portatori di visioni e sentimenti che trascendono i confini del tempo e dello spazio. La loro opera è un dialogo con il mondo, un modo di dire che si esprime attraverso la pittura, la scultura, la fotografia o il video. In un'epoca di rapidi cambiamenti e di sfide globali, l'arte continua a essere un mezzo potente per esplorare l'identità, la cultura e l'umanità. Gli artisti contemporanei sfidano le convenzioni, sperimentano con i materiali e i supporti, e aprono nuovi orizzonti di significato. La loro opera è un riflesso del loro tempo, un modo di dire che si evolve e si trasforma. In un mondo sempre più complesso e interconnesso, l'arte ci offre uno spazio di riflessione e di dialogo, un modo di dire che ci aiuta a comprendere il mondo e a noi stessi.

grafica Popa'S

1. Parametrii circuitelor logice integrate (CLI)

Parametrii circuitelor logice integrate precizeaza regulile de interconectare si caracterizeaza performantele pe care le prezinta acestea.

In functie de schema electronica si aparitia cronologica CLI se impart in familii de circuite integrate. Circuitele dintr-o familie prezinta aceleasi nivele logice si sint caracterizate prin parametrii definiti identici.

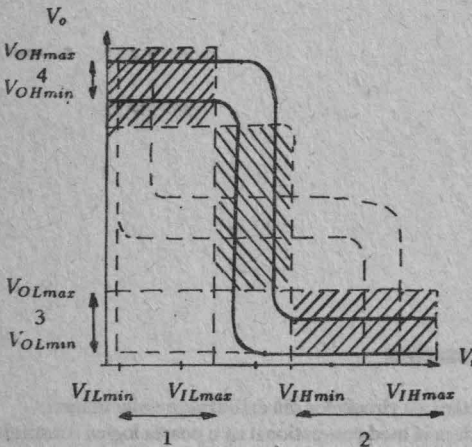
La rindul lor o familie de CLI poate fi clasificata in "serii de CLI". Fiecare serie se remarca prin performante sporite a unui parametru; fiind denumita dupa parametrul respectiv.

Din punct de vedere electric un CLI se caracterizeaza prin urmatorii parametrii: tensiunea de alimentare, nivele logice de tensiune, puterea consumata, viteza, protectia contra zgomotului, curentii de intrare si iesire, parametrii ce caracterizeaza regulile de interconectare.

1.1. Caracteristica statica de transfer

Caracteristica statica de transfer a unui CLI reprezinta variatia tensiunii de iesire functie de tensiunea de intrare. Datorita variatiei tensiunii de alimentare, a parametrilor componentelor semiconductoare si temperaturilor de lucru diferite, pentru o familie de CLI sint valabile caracteristici limita de transfer (fig.1). Pe baza caracteristicilor din fig.1 se pot defini variabilele logice.

Astfel fiecare variabila logica se asociaza la doua plaje de tensiune: plaja tensiunilor garantate la iesire si plaja tensiunilor admise la intrare. Un CLI functioneaza corect, din punct de vedere logic, daca toate tensiunile de intrare sint plasate in una din plajele admise, ceea ce determina ca tensiunea de iesire sa se gaseasca in plaja garantata corespunzatoare tensiunii de iesire. Cele patru plaje de tensiune sint delimitate de opt tensiuni limita:



1. Plaja admisa la intrare pentru "0" logic
 $V_{iLmax} - V_{iLmin}$
2. Plaja admisa la intrare pentru "1" logic
 $V_{iHmax} - V_{iHmin}$
3. Plaja garantata la iesire pentru "0" logic
 $V_{oLmax} - V_{oLmin}$
3. Plaja garantata la iesire pentru "1" logic
 $V_{oHmax} - V_{oHmin}$

Fig. 1

1.2. Marginea de protectie contra perturbatiilor

Marginea de protectie contra semnalelor perturbatoare, numita si imunitate la zgomot a unui CLI, este egala cu valoarea maxima pe care o poate lua tensiunea perturbatoare la intrarea circuitului, astfel ca la iesirea acestuia sa se mentina nivelul de tensiune in cadrul plajei garantate. Intr-un sistem numeric fiecare circuit este actionat de alt circuit si la rindul lui comanda un circuit.

Definirea marginii de zgomot se face ca in fig.2.

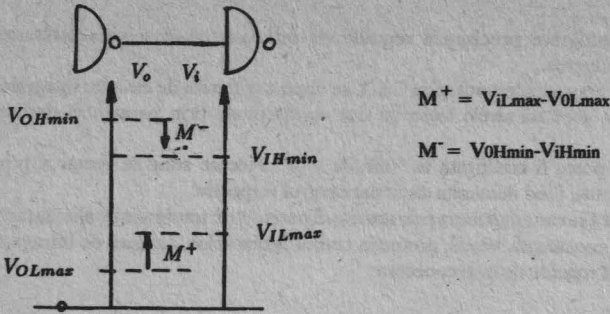


Fig. 2

Marimile definite mai sus prezinta valori minime. Daca se apreciaza ca sistemul numeric, ce utilizeaza CLI nu lucreaza in conditii deosebit de defavorabile atunci se poate defini o margine de zgomot normala (fig.3).

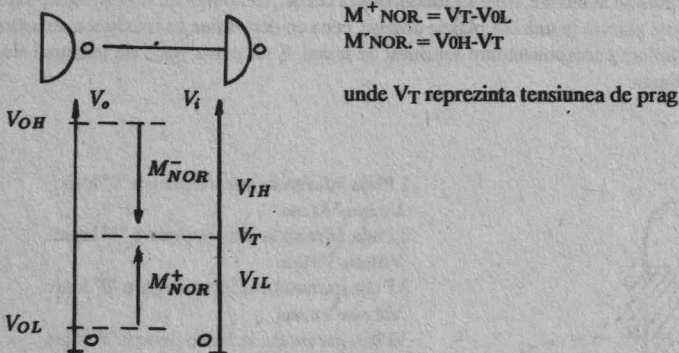


Fig. 3

1.3. Factorul de incarcare

Acest parametru defineste regulile de interconectare ale circuitelor din cadrul sistemului numeric. Pentru definirea factorului de incarcare se considera in mod conventional ca o poarta logica constituie sarcina unitara; definind factorul de incarcare la intrare pentru cele doua nivele logice: $FI_L = 1$; $FI_H = 1$. Considerind ca un circuit logic va comanda alte N circuite identice va rezulta o definire pentru factorul de incarcare la iesire in cele doua situatii

$$FE_H = \frac{|I_{oH}|}{|I_{iH}|} \quad FE_L = \frac{|I_{oL}|}{|I_{iL}|}$$

Se poate constata ca cei patru factori de incarcare sînt numere intregi pozitive.

Se precizeaza ca toti curentii de intrare/iesire au semnale pozitive daca sînt absorbiti de CLI (spre circuit) in caz contrar se atribuie, in mod conventional, semnul negativ.

Daca circuitele logice interconectate prezinta curenti de intrare/iesire diferiti se impune respectarea

4 urmatoarelor relatii: $I_{oH} = \sum I_{iH}$; $I_{oL} = \sum I_{iL}$

1.4. Puterea consumata

Acest parametru defineste puterea absorbita de CLI de la sursa de alimentare.

Parametrul are trei componente:

Puterea consumata in regim static :

$$P_{CC} = \frac{I_{C1} + I_{CCL}}{2} V_{CC}$$

unde curentii I_{CC} sint curenti absorbiti de la sursa de alimentare in regim static atunci cind la iesire este "1" respectiv "0" logic.

Puterea consumata in regim dinamic :

$$P_{d1} = V_{CC}^2 C_p f$$

unde:

V_{CC} - tensiunea de alimentare.

C_p - capacitatile parazite de la iesirea CLI.

f - frecventa de lucru a CLI.

P_{d2} - puterea dinamica datorata supracurentilor rezultati in urma comutarii si care depind de schema interna a CLI.

1.5. Viteza de comutare

Este parametrul ce specifica frecventa maxima de lucru a CLI cit si timpul de raspuns al acestuia din momentul aplicarii semnalului de intrare. Timpul de raspuns al CLI poarta denumirea de timp de propagare si este definit ca in fig.4

$$t_{pd} = \frac{t_{pHL} + t_{pLH}}{2}$$

unde t_{pd} - timpul de propagare mediu.

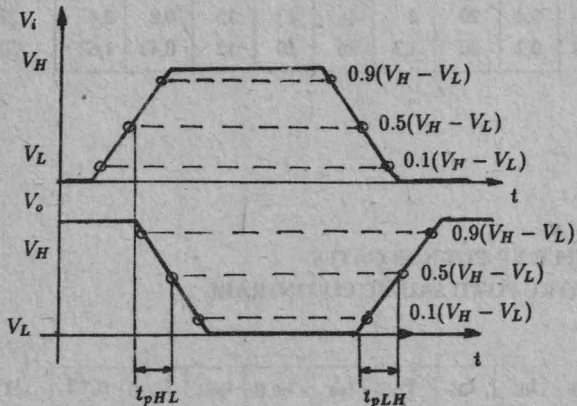


Fig. 4

1.6. Factorul de calitate

Constituie produsul dintre puterea statica si timpul de propagare mediu.

7400 QUADRUPLE 2-INPUT NAND GATES
 V_{CC}=5V PATRU PORTI SI-NU CU 2 INTRARI

TIP	I _{OL}	I _{OH}	I _{iL}	I _{iH}	P _{cc}	t _{pd}	t _{pLH}	t _{pHL}	I _{cCH}	I _{cCL}	1A	14	V _{CC}
74	mA	mA	mA	μA	mW	ns	ns	ns	mA	mA	1B	13	4B
00	16	0,8	1,6	40	10	10	11	7	4	12	1Y	12	4A
LS00	8	0,4	0,4	20	2	9,5	9	10	0,8	2,4	2A	11	4Y
S00	20	1	2	50	19	3	3	3	10	20	2B	10	3B
ALS00	8	0,4	0,2	20	1,3	4,5	4	5	0,43	1,62	2Y	9	3A
L00	3,6	0,2	0,18	10	1	33	35	31	0,44	1,16	GND	8	3Y
H00	20	1	2	50	22	6	5,9	6,2	10	26			

7401 QUADRUPLE 2-INPUT NAND GATES WITH OPEN COLLECTORS OUTPUTS
 V_{CC}=5V PATRU PORTI SI-NU CU 2 INTRARI CU COLECTOR IN GOL

TIP	I _{OL}	I _{OH}	I _{iL}	I _{iH}	P _{cc}	t _{pd}	t _{pLH}	t _{pHL}	I _{cCH}	I _{cCL}	1Y	14	V _{CC}
74	mA	μA	mA	μA	mW	ns	ns	ns	mA	mA	1A	13	4Y
01	16	250	1,6	40	10	22	35	8	4	12	1B	12	4B
H01	20	250	2	50	20,5	9	10	7,5	10	26	2Y	11	4A
L01	3,6	50	0,18	10	1	47	60	33	0,44	1,16	2A	10	3Y
LS01	8	100	0,4	20	2	16	17	15	0,8	2,4	2B	9	3B
ALS01	8	100	0,2	20	1,3	16	20	12	0,43	1,62	GND	8	3A

7402 QUADRUPLE 2-INPUT NOR GATES
 V_{CC}=5V PATRU PORTI SAU-NU CU 2 INTRARI

TIP	I _{OL}	I _{OH}	I _{iL}	I _{iH}	P _{cc}	t _{pd}	t _{pLH}	t _{pHL}	I _{cCH}	I _{cCL}	1Y	14	V _{CC}
74	mA	mA	mA	μA	mW	ns	ns	ns	mA	mA	1A	13	4Y
02	16	0,4	1,6	40	14	10	12	8	8	14	1B	12	4B
L02	3,6	0,1	0,18	10	1,4	33	31	35	0,8	1,4	2Y	11	4A
LS02	8	0,4	0,4	20	2,8	10	10	10	1,6	2,8	2A	10	3Y
S02	20	1	2	50	29	3,5	3,5	3,5	17	26,26	2B	9	3B
ALS02	8	0,4	0,4	20	1,9	5,5	6	5	0,86	2,16	GND	8	3A

7403 QUADRUPLE 2-INPUT NAND GATES WITH OPEN COLLECTOR OUTPUTS

V_{cc} = 5V PATRU PORTI SI-NU CU 2 INTRARI CU COLECTOR IN GOL

Y

TIP	I _{OL} mA	I _{OH} μA	I _{IL} mA	I _{IH} μA	P _{cc} mW	t _{pd} ns	t _{pLH} ns	t _{pHL} ns	I _{CCH} mA	I _{CCL} mA
03	16	250	1,6	40	10	22	35	8	4	12
LS03	8	100	0,4	20	2	16	17	15	0,8	2,4
S03	20	250	2	50	17,5	5	5	4,5	6	20
ALS03	8	100	0,2	20	1,25	16	20	12	0,43	1,63
L03	3,6	50	0,18	10	1	46	60	33	0,44	1,16

1A	1	14	V _{cc}
1B	2	13	4B
1Y	3	12	4A
2A	4	11	4Y
2B	5	10	3B
2Y	6	9	3A
GND	7	8	3Y

7404 HEX INVERTERS

V_{cc} = 5V SASE INVERTOARE

TIP	I _{OL} mA	I _{OH} mA	I _{IL} mA	I _{IH} μA	P _{cc} mW	t _{pd} ns	t _{pLH} ns	t _{pHL} ns	I _{CCH} mA	I _{CCL} mA
04	16	0,4	1,6	40	10	10	12	8	6	18
LS04	8	0,4	0,4	20	2	9,5	9	10	1,2	3,6
S04	20	1	2	50	19	3	3	3	15	30
ALS04	8	0,4	0,2	20	1,25	3,5	3,5	3,5	0,65	2,4
H04	20	1	2	50	22	6	6	6,5	16	40
L04	3,6	0,2	0,18	10	1	33	35	31	0,66	1,74

1A	1	14	V _{cc}
1Y	2	13	6A
2A	3	12	6Y
2Y	4	11	5A
3A	5	10	5Y
3Y	6	9	4A
GND	7	8	4Y

7405 HEX INVERTERS WITH OPEN COLLECTOR OUTPUTS

V_{cc} = 5V SASE INVERTOARE CU COLECTOR IN GOL

Y

TIP	I _{OL} mA	I _{OH} μA	I _{IL} mA	I _{IH} μA	P _{cc} mW	t _{pd} ns	t _{pLH} ns	t _{pHL} ns	I _{CCL} mA	I _{CCH} mA
05	16	250	1,6	40	10	24	40	8	6	18
LS05	8	100	0,4	20	2	16	17	15	1,2	3,6
S05	20	250	2	50	17,5	5	5	4,5	9	30
ALS05	8	100	0,2	20	1,25	14	20	7	0,65	2,4
H05	20	250	2	50	23,4	9	10	7,5	16	40

1A	1	14	V _{cc}
1Y	2	13	6A
2A	3	12	6Y
2Y	4	11	5A
3A	5	10	5Y
3Y	6	9	4A
GND	7	8	4Y

7406 HEX INVERTERS BUFFERS/DRIVERS WITH OPEN COLLECTOR HIGH-VOLTAGE OUTPUT

$V_{cc}=5V$ 6 INVERTOARE CU COLECTOR IN GOL DE TENSIU NE RIDICATA

$Y=A$; $V_{OH}=30V$

TIP	I_{OL}	I_{OH}	I_{iL}	I_{iH}	P_{cc}	t_{pd}	t_{pLH}	t_{pHL}	I_{cCH}	I_{cCL}
74	mA	μA	mA	μA	mW	ns	ns	ns	mA	mA
06	40	250	1,6	40	26	12,5	10	15	30	32

IDENTIC CU

7405

7407 HEX BUFFERS/DRIVERS WITH OPEN COLLECTOR HIGH-VOLTAGE OUTPUTS

$V_{cc}=5V$ 6 CIRCUITE DE COMANDA CU COLECTOR IN GOL SI DE TENSIU NE RIDICATA

$Y=A$; $V_{OH}=30V$

TIP	I_{OL}	I_{OH}	I_{iL}	I_{iH}	P_{cc}	t_{pd}	t_{pLH}	t_{pHL}	I_{cCH}	I_{cCL}
74	mA	μA	mA	μA	mW	ns	ns	ns	mA	mA
07	40	250	1,6	40	21	13	6	20	29	21

1A	1	14	V_{cc}
1Y	2	13	6A
2A	3	12	6Y
2Y	4	11	5A
3A	5	10	5Y
3Y	6	9	4A
GND	7	8	4Y

7408 QUADRUPLE 2-INPUT AND GATES

$V_{cc}=5V$ PATRU PORTI SI CU 2 INTRARI

$Y=A.B$

TIP	I_{OL}	I_{OH}	I_{iL}	I_{iH}	P_{cc}	t_{pd}	t_{pLH}	t_{pHL}	I_{cCH}	I_{cCL}
74	mA	mA	mA	μA	mW	ns	ns	ns	mA	mA
08	16	0,8	1,6	40	19	15	17,5	12	11	20
LS08	8	0,4	0,4	20	4,3	12	8	10	2,4	4,4
S08	20	1	2	50	32	4,8	4,5	5	18	32
ALS08	8	0,4	0,2	20	2,2	6,5	8	5	1,3	2,2

1A	1	14	V_{cc}
1B	2	11	4B
1Y	3	12	4A
2A	4	11	4Y
2B	5	10	3B
2Y	6	9	3A
GND	7	8	3Y

7409 QUADRUPLE 2-INPUT AND GATES WITH OPEN COLLECTOR

$V_{cc}=5V$ PATRU PORTI SI CU 2 INTRARI SI COLECTOR IN GOL

$Y=A.B$; $V_{OH}=5V$

TIP	I_{OL}	I_{OH}	I_{iL}	I_{iH}	P_{cc}	t_{pd}	t_{pLH}	t_{pHL}	I_{cCH}	I_{cCL}
74	mA	μA	mA	μA	mW	ns	ns	ns	mA	mA
09	16	250	1,6	40	19,5	18,5	21	16	11	20
LS09	8	100	0,4	20	4,3	18,5	20	17	2,4	4,4
S09	20	250	2	50	32	6	5,5	6	18	32
ALS09	8	100	0,2	20	2,2	15	20	10	1,35	2,2

1A	1	14	V_{cc}
1B	2	13	4B
1Y	3	12	4A
2A	4	11	4Y
2B	5	10	3B
2Y	6	9	3A
GND	7	8	3Y

7410 TRIPLE 3-INPUT-NAND GATES

V_{cc}=5V TREI CIRCUITE SI-NU CU 3 INTRARI

$Y = A \cdot B \cdot C$

TIP	I _{0L}	I _{0H}	I _{iL}	I _{iH}	P _{cc}	t _{pd}	t _{pLH}	t _{pHL}	I _{cCH}	I _{cCL}
74	mA	mA	mA	μA	mW	ns	ns	ns	mA	mA
10	16	0,4	1,6	40	10	10	11	7	3	9
H10	20	0,5	2	50	22,5	6	5,9	6,3	7,5	19,5
L10	3,6	0,2	0,18	10	1	33	35	31	0,33	0,87
LS10	8	0,4	0,4	20	2	9,5	9	10	0,6	1,8
S10	20	1	2	50	19	3	3	3	7,5	1,5
ALS10	8	0,4	0,2	20	1,25	7	4	10	0,32	1,2

1A	1	14	V _{cc}
1B	2	13	1C
2A	3	12	1Y
2B	4	11	3C
2C	5	10	3B
2Y	6	9	3A
GND	7	8	3Y

7411 TRIPLE 3-INPUT-AND GATES

V_{cc}=5V TREI PORTI SI CU 3 INTRARI

$Y = A \cdot B \cdot C$

TIP	I _{0L}	I _{0H}	I _{iL}	I _{iH}	P _{cc}	t _{pd}	t _{pLH}	t _{pHL}	I _{cCH}	I _{cCL}
74	mA	mA	mA	μA	mW	ns	ns	ns	mA	mA
H11	20	0,5	2	50	40	8,2	7,6	8,8	18	30
LS11	8	0,4	0,4	20	4,3	9	8	10	1,8	3,3
S11	20	1	2	50	31	4,8	4,5	5	13,5	24
ALS11	8	0,4	0,2	20	2,2	9	12	6	1	1,6

1A	1	14	V _{cc}
1B	2	13	1C
2A	3	12	1Y
2B	4	11	3C
2C	5	10	3B
2Y	6	9	3A
GND	7	8	3Y

7412 TRIPLE 3-INPUT-NAND GATES WITH OPEN-COLLECTOR OUTPUTS

V_{cc}=5V TREI CIRCUITE SI-NU CU TREI INTRARI CU COLECTORUL IN GOL

$Y = A \cdot B \cdot C$; V_{0H} = 5V

TIP	I _{0L}	I _{0H}	I _{iL}	I _{iH}	P _{cc}	t _{pd}	t _{pLH}	t _{pHL}	I _{cCH}	I _{cCL}
74	mA	μA	mA	μA	mW	ns	ns	ns	mA	mA
12	16	250	1,6	40	10	22	35	8	3	9
LS12	8	100	0,4	20	2	16	17	15	0,7	1,8
ALS12	8	100	0,2	20	1,25	18	20	15	0,32	1,2

1A	1	14	V _{cc}
1B	2	13	1C
2A	3	12	1Y
2B	4	11	3C
2C	5	10	3B
2Y	6	9	3A
GND	7	8	3Y

7413 DUAL FOUR INPUT NAND SCHMITT TRIGGER

V_{cc}=5V

DOUA TRIGGERE SCHMITT SI-NU CU PATRU INTRARI

$Y = A.B.C.D$; $V_{T+} = 1,7V$; $V_{T-} = 0,9V$

TIP	I _{0L}	I _{0H}	I _{iL}	I _{iH}	P _{cc}	t _{pd}	t _{pLH}	t _{pHL}	I _{CCH}	I _{CCL}
74	mA	mA	mA	uA	mW	ns	ns	ns	mA	mA
13	16	0,8	1,6	40	42	16,5	18	15	14	20
LS13	8	0,4	0,4	20	9	16,5	15	18	2,9	4,1

1A	1	14	V _{cc}
1B	2	13	2D
	3	12	2C
1C	4	11	
1D	5	10	2B
1Y	6	9	2A
GND	7	8	2Y

7414 HEX SCHMITT-TRIGGER INVERTERS

V_{cc}=5V

SASE INVERSOARE TRIGGER-SCHMITT

$Y = \bar{A}$; $V_{T+} = 1,7V$; $V_{T-} = 0,9V$

TIP	I _{0L}	I _{0H}	I _{iL}	I _{iH}	P _{cc}	t _{pd}	t _{pLH}	t _{pHL}	I _{CCH}	I _{CCL}
74	mA	mA	mA	uA	mW	ns	ns	ns	mA	mA
14	16	0,8	1,2	40	26	15	15	15	22	39
LS14	8	0,4	0,4	20	8,6	15	15	15	8,6	12

1A	1	14	V _{cc}
1Y	2	13	6A
2A	3	12	6Y
2Y	4	11	5A
3A	5	10	5Y
3Y	6	9	4A
GND	7	8	4Y

7415 TRIPLE 3-INPUT-AND GATES WITH OPEN COLLECTOR OUTPUTS

V_{cc}=5V

TREI PORTI SI CU TREI INTRARI CU COLECTOR IN GOL

$Y = A.B.C$; $V_{OH} = 5V$

TIP	I _{0L}	I _{0H}	I _{iL}	I _{iH}	P _{cc}	t _{pd}	t _{pLH}	t _{pHL}	I _{CCH}	I _{CCL}
74	mA	uA	mA	uA	mW	ns	ns	ns	mA	mA
H15	20	250	2	50	37,5	11	12	9	15	30
LS15	8	100	0,4	20	4,3	19	20	17	1,8	3,3
S15	20	250	2	50	28	6	5,5	6	10,5	24
ALS15	8	100	0,2	20	2,25	15	20	10	1	1,66

1A	1	14	V _{cc}
1B	2	13	1C
2A	3	12	1Y
2B	4	11	3C
2C	5	10	3B
2Y	6	9	3A
GND	7	8	3Y

7416 HEX INVERTER BUFFERS/DRIVERS WITH OPEN COLLECTOR HIGH-VOLTAGE OUTPUTS

V_{cc}=5V

SASE INVERTOARE DE COMANDA CU COLECTOR IN GOL CU TENSIUNE RIDICATA LA

IESIRE

$Y = \bar{A}$; $V_{OH} = 15V$

TIP	I _{0L}	I _{0H}	I _{iL}	I _{iH}	P _{cc}	t _{pd}	t _{pLH}	t _{pHL}	I _{CCH}	I _{CCL}
74	mA	uA	mA	uA	mW	ns	ns	ns	mA	mA
16	40	250	1,6	40	26	12,5	10	15	30	32

IDENTIC CU
7404

7417 HEX BUFFERS/DRIVERS WITH OPEN COLLECTOR HIGH-VOLTAGE OUTPUTS

$V_{cc} = 5V$ SASE CIRCUITE DE COMANDA CU COLECTOR IN GOL SI DE TENSIUNE RIDICATA

IESIRE

$Y = A$; $V_{OH} = 15V$

TIP	I_{OL}	I_{OH}	I_{iL}	I_{iH}	P_{cc}	t_{pd}	t_{pLH}	t_{pHL}	I_{CCH}	I_{CCL}
74	mA	μA	mA	μA	mW	ns	ns	ns	mA	mA
17	40	250	1,6	40	21	13	6	20	29	21

IDENTIC CU

7407

7418 DUAL FOUR INPUT NAND SCHMITT-TRIGGER

$V_{cc} = 5V$ DOUA TRIGGERE SCHMITT SI-NU CU PATRU INTRARI

$Y = A.B.C.D$; $V_{T+} = 1,6V$; $V_{T-} = 0,8V$

TIP	I_{OL}	I_{OH}	I_{iL}	I_{iH}	P_{cc}	t_{pd}	t_{pLH}	t_{pHL}	I_{CCH}	I_{CCL}
74	mA	mA	mA	μA	mW	ns	ns	ns	mA	mA
LS18	8	0,4	0,4	20	9	17	15	18	2,9	4,1

IDENTIC CU

7413

7419 HEX SCHMITT TRIGGER INVERTERS

$V_{cc} = 5V$ SASE INVERTOARE TRIGGERE SCHMITT

$Y = \overline{A}$; $V_{T+} = 1,6V$; $V_{T-} = 0,8V$

TIP	I_{OL}	I_{OH}	I_{iL}	I_{iH}	P_{cc}	t_{pd}	t_{pLH}	t_{pHL}	I_{CCH}	I_{CCL}
74	mA	mA	mA	μA	mW	ns	ns	ns	mA	mA
LS19	8	0,4	0,4	20	8,6	15	15	15	8,6	12

IDENTIC CU

7414

7420 DUAL 4-INPUT NAND GATES

$V_{cc} = 5V$ DOUA PORTI SI-NU CU PATRU INTRARI

$Y = \overline{A.B.C.D}$

TIP	I_{OL}	I_{OH}	I_{iL}	I_{iH}	P_{cc}	t_{pd}	t_{pLH}	t_{pHL}	I_{CCH}	I_{CCL}
74	mA	mA	mA	μA	mW	ns	ns	ns	mA	mA
20	16	0,4	1,6	40	10	10	12	8	2	6
LS20	8	0,4	0,4	20	2	9,5	9	10	0,4	1,2
S20	20	1	2	50	19	3	3	3	5	10
ALS20	8	0,4	0,2	20	1,25	9,5	4	15	0,22	0,81
H20	20	0,5	2	50	22,5	6,5	6	7	5	13
L20	2	0,2	0,18	10	1	33	35	31	0,22	0,58

1A	1	14	V_{cc}
1B	2	13	2D
	3	12	2C
1C	4	11	
1D	5	10	2B
1Y	6	9	2A
GND	7	8	2Y

7421 DUAL 4-INPUT AND GATES

V_{cc}=5V DOUA PORTI SI-NU CU 4 INTRARI

Y = A.B.C.D

TIP	I _{OL}	I _{OH}	I _{iL}	I _{iH}	P _{cc}	t _{pd}	t _{pLH}	t _{pHL}	I _{cCH}	I _{cCL}
74	mA	mA	mA	μA	mW	ns	ns	ns	mA	mA
LS21	8	0,4	0,4	20	4,3	9	8	10	1,2	2,2
ALS21	8	0,4	0,4	20	2,25	8,5	12	5	0,67	1,1
H21	20	0,5	2	50	40	8,2	7,6	8,8	12	20

1A	1	14	V _{cc}
1B	2	13	2D
	3	12	2C
1C	4	11	
1D	5	10	2B
1Y	6	9	2A
GND	7	8	2Y

7422 DUAL 4-INPUT NAND GATES WITH OPEN-COLLECTOR-OUTPUTS

V_{cc}=5V DOUA PORTI SI-NU CU 4 INTRARI SI COLECTOR IN GOL

Y = A.B.C.D ; V_{OH}=5V

TIP	I _{OL}	I _{OH}	I _{iL}	I _{iH}	P _{cc}	t _{pd}	t _{pLH}	t _{pHL}	I _{cCH}	I _{cCL}
74	mA	μA	mA	μA	mW	ns	ns	ns	mA	mA
22	16	250	1,6	40	10	22	35	8	2	6
LS22	8	100	0,4	20	2	16	17	15	0,4	1,2
S22	20	250	2	50	16,2	5	5	4,5	3	10
ALS22	8	100	0,2	20	1,25	20	20	19	0,22	0,8
H22	20	250	2	50	20,5	9	10	7,5	0,5	13

1A	1	14	V _{cc}
1B	2	13	2D
	3	12	2C
1C	4	11	
1D	5	10	2B
1Y	6	9	2A
GND	7	8	2Y

7423 EXPANDABLE DUAL 4-INPUT NOR GATES WITH STROBE

V_{cc}=5V DOUA PORTI SAU-NU EXPANDABILE CU 4 INTRARI SI CU STROBARE

1Y = 1G(1A + 1B + 1C + 1D) + X ; X = OUTPUT OF 7460

2Y = 2G(2A + 2B + 2C + 2D)

TIP	I _{OL}	I _{OH}	I _{iL}	I _{iH}	P _{cc}	t _{pd}	t _{pLH}	t _{pHL}	I _{cCH}	I _{cCL}
74	mA	mA	mA	μA	mW	ns	ns	ns	mA	mA
23	16	0,8	1,6	40	23	10,5	13	8	8	10

STROBE G	6,4	160
----------	-----	-----

1X	1	16	V _{cc}
1A	2	15	1X
1B	3	14	2D
1G	4	13	2C
1C	5	12	2G
1D	6	11	2B
1Y	7	10	2A
GND	8	9	2Y

7424 QUADRUPLE 2 INPUT NAND SCHMITT TRIGGER

V_{cc}=5V PATRU TRIGGERE SCHMITT SI-NU CU 2 INTRARI

Y = A.B ; V_{T+} = 1,6V ; V_{T-} = 0,8V

TIP	I _{OL}	I _{OH}	I _{iL}	I _{iH}	P _{cc}	t _{pd}	t _{pLH}	t _{pHL}	I _{cCH}	I _{cCL}
74	mA	mA	mA	μA	mW	ns	ns	ns	mA	mA
LS24	8	0,4	0,4	20	8,5	16	15	17	5,4	8

IDENTIC CU 7400

7425 DUAL 4-INPUT NOR GATES WITH STROBE

V_{cc}=5V DOUA PORTI SAU-NU CU 4 INTRARI SI CU STROBARE

$$Y = \overline{G(A+B+C+D)}$$

TIP	I _{OL}	I _{OH}	I _{iL}	I _{iH}	P _{cc}	t _{pd}	t _{pLH}	t _{pHL}	I _{CCH}	I _{CCL}
74	mA	mA	mA	uA	mW	ns	ns	ns	mA	mA
25	16	0,8	1,6	40	23	10,5	13	8	8	10
STROB G			6,4	160						

1A	1	14	V _{cc}
1B	2	13	2D
1G	3	12	2C
1C	4	11	2G
1D	5	10	2B
1Y	6	9	2D
GND	7	8	2Y

7426 QUADRUPLE 2-INPUT HIGH-VOLTAGE INTERFACE NAND GATES

V_{cc}=5V PATRU PORTI SI-NU CU 2 INTRARI CU COLECTOR IN GOL

$$Y = \overline{A \cdot B} ; V_{OH} = 15V$$

TIP	I _{OL}	I _{OH}	I _{iL}	I _{iH}	P _{cc}	t _{pd}	t _{pLH}	t _{pHL}	I _{CCH}	I _{CCL}
74	mA	mA	mA	uA	mW	ns	ns	ns	mA	mA
26	16	1	1,6	40	10	13,5	16	11	4	12
LS26	8	1	0,4	20	2	16	17	15	0,8	2,4

IDENTIC CU
7400

7427 TRIPLE 3-INPUT NOR GATES

V_{cc}=5V TREI PORTI SAU-NU CU TREI INTRARI

$$Y = \overline{A+B+C}$$

TIP	I _{OL}	I _{OH}	I _{iL}	I _{iH}	P _{cc}	t _{pd}	t _{pLH}	t _{pHL}	I _{CCH}	I _{CCL}
74	mA	mA	mA	uA	mW	ns	ns	ns	mA	mA
27	16	0,8	1,6	40	22	8,5	10	7	10	16
LS27	8	0,4	0,4	20	4,5	10	10	10	2	3,4
ALS27	8	0,4	0,2	20	2,5	6	9	3	0,97	2

1A	1	14	V _{cc}
1B	2	13	1C
2A	3	12	1Y
2B	4	11	3C
2C	5	10	3B
2Y	6	9	3A
GND	7	8	3Y

7428 QUADRUPLE 2-INPUT NOR GATES

V_{cc}=5V PATRU PORTISAU-NU CU 2 INTRARI

$$Y = \overline{A+B}$$

TIP	I _{OL}	I _{OH}	I _{iL}	I _{iH}	P _{cc}	t _{pd}	t _{pLH}	t _{pHL}	I _{CCH}	I _{CCL}
74	mA	mA	mA	uA	mW	ns	ns	ns	mA	mA
28	48	2,4	1,6	40	28	7	6	8	12	33
LS28	24	1,2	0,4	20	5,5	12	12	12	1,8	6,9
ALS28	24	2,6	0,2	20	4	4	4	4	1,7	4,8

IDENTIC CU
7402

7430 8-INPUT NAND GATES

V_{cc}=5V

POARTA SI-NU CU 8 INTRARI

$Y = A \cdot B \cdot C \cdot D \cdot E \cdot F \cdot G \cdot H$

TIP	I _{0L}	I _{0H}	I _{iL}	I _{iH}	P _{cc}	t _{pd}	t _{pLH}	t _{pHL}	I _{CCH}	I _{CCL}
74	mA	mA	mA	μA	mW	ns	ns	ns	mA	mA
30	16	0,4	1,6	40	10	11	13	8	1	3
LS30	8	0,4	0,4	20	2,4	11	8	13	0,35	0,6
S30	20	1	2	50	21	4	4	4,5	3	5,5
ALS30	8	0,4	0,2	20	1,9	7	4	10	0,22	0,54
H30	20	0,5	2	50	22,5	7,9	6,8	8,9	2,5	6,56
L30	3,6	0,2	0,18	20	1	53	35	70	0,11	0,29

A	1	14	V _{cc}
B	2	13	
C	3	12	H
D	4	11	G
E	5	10	
F	6	9	
GND	7	8	Y

7432 QUADRUPLE 2-INPUT OR GATES

V_{cc}=5V

PATRU PORTI SAU CU 2 INTRARI

$Y = A + B$

TIP	I _{0L}	I _{0H}	I _{iL}	I _{iH}	P _{cc}	t _{pd}	t _{pLH}	t _{pHL}	I _{CCH}	I _{CCL}
74	mA	mA	mA	μA	mW	ns	ns	ns	mA	mA
32	16	0,8	1,6	40	24	12	10	14	15	23
LS32	8	0,4	0,4	20	5	14	14	14	3,1	4,9
S32	20	1	2	50	35	4	4	4	18	38
ALS32	8	0,4	0,4	20	2,8	5,5	6	5	1,9	2,6

1A	1	14	V _{cc}
1B	2	13	4B
1Y	3	12	4A
2A	4	11	4Y
2B	5	10	3Y
2Y	6	9	3A
GND	7	8	3Y

7433 QUADRUPLE 2-INPUT NOR BUFFERS WITH OPEN COLLECTOR OUTPUTS

V_{cc}=5V

PATRU PORTI SAU-NU CU 2 INTRARI DE PUTERE CU COLECTOR IN GOL

$Y = A + B$; V_{0H}=5V

TIP	I _{0L}	I _{0H}	I _{iL}	I _{iH}	P _{cc}	t _{pd}	t _{pLH}	t _{pHL}	I _{CCH}	I _{CCL}
74	mA	μA	mA	μA	mW	ns	ns	ns	mA	mA
33	48	250	1,6	40	28	11	10	12	12	33
LS33	24	250	0,4	20	5,5	19	20	18	1,8	6,9
ALS33	24	100	0,2	20	4	14	20	9	1,7	4,8

1Y	1	14	V _{cc}
1A	2	13	4Y
1B	3	12	4B
2Y	4	11	4A
2A	5	10	3B
2B	6	9	3B
GND	7	8	3A

7437 QUADRUPLE 2-INPUT NAND BUFFERS
V_{cc}=5V PATRU PORTI SI-NU CU 2 INTRARI DE PUTERE

$$Y = \overline{A \cdot B}$$

TIP	I _{OL}	I _{OH}	I _{iL}	I _{iH}	P _{cc}	t _{pd}	t _{pLH}	t _{pHL}	I _{cCH}	I _{cCL}
74	mA	mA	mA	μA	mW	ns	ns	ns	mA	mA
37	48	1,2	1,2	40	27	10	13	8	9	34
LS37	24	1,2	0,4	20	4,3	12	12	12	0,9	6
S37	60	3	4	100	41	4	4	4	20	46
ALS37	24	2,6	0,2	20	3	4	4	4	0,86	4

1A	1	14	V _{cc}
1B	2	13	4B
1Y	3	12	4A
2A	4	11	4Y
2B	5	10	3B
2Y	6	9	3A
GND	7	8	3Y

7438 QUADRUPLE 2-INPUT NAND BUFFERS WITH OPEN-COLLECTOR OUTPUTS
V_{cc}=5V PATRU PORTI SI-NU CU 2 INTRARI DE PUTERE CU COLECTOR IN GOL

$$Y = \overline{A \cdot B} ; V_{OH} = 5V$$

TIP	I _{OL}	I _{OH}	I _{iL}	I _{iH}	P _{cc}	t _{pd}	t _{pLH}	t _{pHL}	I _{cCH}	I _{cCL}
74	mA	μA	mA	μA	mW	ns	ns	ns	mA	mA
38	48	250	1,6	40	24,5	12,5	14	11	5	34
LS38	24	250	0,4	20	4,3	19	20	18	0,9	6
S38	60	250	4	100	41	6,5	6,5	6,5	20	46
ALS38	24	100	0,2	20	3	14,5	20	9	0,86	4

1A	1	14	V _{cc}
1B	2	13	4B
1Y	3	12	4A
2A	4	11	4Y
2B	5	10	3B
2Y	6	9	3A
GND	7	8	3Y

7440 DUAL 4-INPUT NAND BUFFERS
V_{cc}=5V DOUA PORTI SI-NU CU 4-INTRARI DE PUTERE

$$Y = \overline{A \cdot B}$$

TIP	I _{OL}	I _{OH}	I _{iL}	I _{iH}	P _{cc}	t _{pd}	t _{pLH}	t _{pHL}	I _{cCH}	I _{cCL}
74	mA	mA	mA	μA	mW	ns	ns	ns	mA	mA
40	48	1,2	1,6	40	26	10,5	13	8	4	17
LS40	24	1,2	0,4	20	4,3	12	12	12	0,45	3
S40	60	3	4	100	44	6	6	6	10	25
ALS40	24	2,6	0,2	20	3	4	4	4	0,43	2
H40	60	1,5	4	100	44	7,5	8,5	6,5	10,5	25

1A	1	14	V _{cc}
1B	2	13	2D
	3	12	2C
1C	4	11	
1D	5	10	2B
1Y	6	9	2A
GND	7	8	2Y

7442 4-LINE-TO-10-LINE DECODERS/BCD-TO-DECIMAL
V_{cc}=5V DECODIFICATOR 4 IN/BCD-ZECIMAL

TIP	I _{OL}	I _{OH}	I _{iL}	I _{iH}	P _{cc}	I _{cc}	t _{pd}	t _{pHL}	t _{pLH}
74	mA	mA	mA	μA	mW	mA	ns	ns	ns
42A	16	0,8	1,6	40	140	28	17	17	17
L42	8	0,4	0,8	20	70	14	49	46	52
LS42	8	0,4	0,4	20	35	7	20	20	20

No	BCD-INPUT		DECIMAL-OUTPUT				
	DC	BA	01	23	45	67	89
0	LL	LL	LH	HH	HH	HH	HH
1	LL	LH	HL	HH	HH	HH	HH
2	LL	HL	HH	LH	HH	HH	HH
3	LL	HH	HH	HL	HH	HH	HH
4	LH	LL	HH	HH	LH	HH	HH
5	LH	LH	HH	HH	HL	HH	HH
6	LH	HL	HH	HH	HH	LH	HH
7	LH	HH	HH	HH	HH	HL	HH
8	HL	LL	HH	HH	HH	HH	LH
9	HL	LH	HH	HH	HH	HH	HL
10-15	HX	XX	HH	HH	HH	HH	HH

0	1	16	Vcc
1	2	15	A
2	3	14	B
3	4	13	C
4	5	12	D
5	6	11	9
6	7	10	8
GND	8	9	7

X=L/H

7443 4-LINE-TO-10-LINE DECODERS/EXCESS-3-TO-DECIMAL
Vcc=5V DECODIFICATOR 4 IN 10/EXCES DE 3-ZECIMAL

TIP	I _{OL}	I _{OH}	I _{IL}	I _{IH}	P _{cc}	I _{cc}	t _{pd}	t _{pHL}	t _{pLH}	TIP
74	mA	mA	mA	μA	mW	mA	ns	ns	ns	74
43A	16	0,8	1,6	40	140	28	17	17	1	44A
L43	8	0,4	0,8	20	70	14	49	46	52	L44

IDENTIC CU
7442

No	7443 EX.3-INPUT		7444 DECIMAL-OUTPUT					EX.3 GRAY-IN.		
	AB	CD	01	23	45	67	89	AB	CD	
0	LL	HH	LH	HH	HH	HH	HH	LL	H L	
1	LH	LL	HL	HH	HH	HH	HH	LH	H L	
2	LH	LH	HH	LH	HH	HH	HH	LH	H H	
3	LH	HL	HH	HL	HH	HH	HH	LH	L H	
4	LH	HH	HH	HH	LH	HH	HH	LH	L L	
5	HL	LL	HH	HH	HL	HH	HH	HH	L L	
6	HL	LH	HH	HH	HH	LH	HH	HH	L H	
7	HL	HL	HH	HH	HH	HL	HH	HH	H H	
8	HL	HH	HH	HH	HH	HH	LH	HH	H L	
9	HH	LL	HH	HH	HH	HH	HL	HL	H L	
10-15	XX	XX	HH	HH	HH	HH	HH	XX	X X	

X = H/L

7444 4-LINE-TO-10-LINE DECODERS/EXCESS-3 GRAY-TO DECIMAL
DECODIFICATOR 4 IN 10/EX-3 GRAY-ZECIMAL

VEZI 7443

7445 BCD-TO-DECIMAL DECODER/DRIVER

V_{cc}=5V DECODIFICATOR DE PUTERE /IESIREA IN GOL ;

V_{0H}=30V

TIP	I _{0L}	I _{0H}	I _{iL}	I _{iH}	P _{cc}	I _{cc}	t _{pd}	t _{pLH}	t _{pHL}
74	mA	μA	mA	μA	mW	mA	ns	ns	ns
45	80	250	1,6	40	215	43	50	50	50

DISPUNEREA PINILOR SI TABELA DE FUNCTII IDENTIC CU 7442

BCD-TO-SEVEN-SEGMENT DECODERS/DRIVERS

7446 ACTIVE-LOW,OPEN-COLLECTOR,30V OUTPUTS

7447 ACTIVE-LOW,OPEN-COLLECTOR,15V OUTPUTS

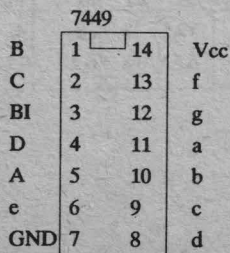
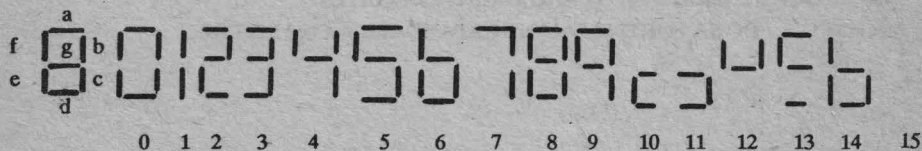
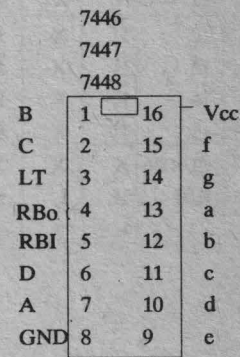
7448 INTERNAL PULL-UP-OUTPUTS

7449 OPEN COLLECTOR OUTPUTS

V_{cc}=5V DECODIFICATOARE DE PUTERE/BCD-7 SEGMENTE

TIP	I _{0L}	I _{0H}	I _{0(on)}	I _{0(off)}	P _{cc}	I _{cc}	t _{pd}	t _{pLH}	t _{pHL}	V _{0H}
74	mA	μA	mA	μA	mW	mA	ns	ns	ns	V
46A	8	200	40	250	320	64	100	100	100	30
L46	4	100	20	250	160	32	200	200	200	30
47A	8	200	40	250	320	64	100	100	100	15
L47	4	100	20	250	160	32	200	200	200	15
LS47	3,2	50	24	250	35	7	100	100	100	15
48	8	200	6,4	400	265	53	100	100	100	5
LS48	3,2	50	6	100	125	25	100	100	100	5
49	10	250	-	-	165	33	100	100	100	5
LS49	8	250	-	-	40	8	100	100	100	5

SEGMENTE



DECIMAL		INPUTS				BI OUTPUTS (46,47)							OUTPUTS (48,49)			
FUNCT	LT	RBI	DC	BA	RB0	a	b	c	d	e	f	g	ab	cd	ef	g
0	H	H	LL	LL	H	ON	ON	ON	ON	ON	ON	OFF	HH	HH	HH	L
1	H	X	LL	LH	H	OFF	ON	ON	OFF	OFF	OFF	OFF	LH	HL	LL	L
2	H	X	LL	HL	H	ON	ON	OFF	ON	OFF	ON	OFF	HH	LH	HL	L
3	H	X	LL	HH	H	ON	ON	ON	ON	OFF	OFF	ON	HH	HH	LL	H
4	H	X	LH	LL	H	OFF	ON	ON	OFF	OFF	ON	ON	LH	HL	LH	H
5	H	X	LH	LH	H	ON	OFF	ON	ON	OFF	ON	ON	HL	HH	LH	H
6	H	X	LH	HL	H	OFF	OFF	ON	ON	ON	ON	ON	LL	HH	HH	H
7	H	X	LH	HH	H	ON	ON	ON	OFF	OFF	OFF	OFF	HH	HL	LL	L
8	H	X	HL	LL	H	ON	ON	ON	ON	ON	ON	ON	HH	HH	HH	H
9	H	X	HL	LH	H	ON	ON	ON	OFF	OFF	ON	ON	HH	HL	LH	H
10	H	X	HL	HL	H	OFF	OFF	OFF	ON	ON	OFF	ON	LL	LH	HL	H
11	H	X	HL	HH	H	OFF	OFF	ON	ON	OFF	OFF	ON	LL	HH	LL	H
12	H	X	HH	LL	H	OFF	ON	OFF	OFF	OFF	ON	ON	LH	LL	LH	H
13	H	X	HH	LH	H	ON	OFF	OFF	ON	OFF	ON	ON	HL	LH	LH	H
14	H	X	HH	HL	H	OFF	OFF	OFF	ON	ON	ON	ON	LL	LH	HH	H
15	H	X	HH	HH	H	OFF	OFF	OFF	OFF	OFF	OFF	OFF	LL	LL	LL	L
BI/RB0	X	X	XX	XX	L	OFF	OFF	OFF	OFF	OFF	OFF	OFF	LL	LL	LL	L
RBI	H	L	LL	LL	L	OFF	OFF	OFF	OFF	OFF	OFF	OFF	LL	LL	LL	L
LT	L	X	XX	XX	H	ON	ON	ON	ON	ON	ON	ON	HH	HH	HH	H

7450 DUAL 2-WIDE 2-INPUT AND-OR-INVERT-GATES

V_{cc} = 5V DOUA PORTI SI SAU NU EXPANDABILA CU 2 INTRRI

$$Y = A.B + C.D + X ; \quad X = \text{OUTPUT OF 7460}$$

TIP	I _{OL}	I _{OH}	I _L	I _H	P _{cc}	t _{pd}	t _{pLH}	t _{pHL}	I _{CCH}	I _{CCL}
74	mA	mA	mA	μA	mW	ns	ns	ns	mA	mA
50	16	0,4	1,6	40	14	10,5	13	8	4	7,4
H50	20	0,5	2	50	29	6,5	6,8	6,2	8,2	15,2

$$1Y = A.B + C.D + X$$

$$2Y = A.B + C.D$$

1A	1	14	V _{cc}
2A	2	13	1B
2B	3	12	1X
2C	4	11	1X
2D	5	10	1D
2Y	6	9	1C
GND	7	8	1Y

7451 AND-OR-INVERT GATES
V_{cc}=5V 2 PORTI SI-SAU-NU CU 2/3 INTRARI

$$1Y = 2Y = \overline{A \cdot B + C \cdot D} \quad (51, H51, S51)$$

$$1Y = \overline{A \cdot B \cdot C + D \cdot E \cdot F} \quad (LS1, LS51) \quad 2Y = \overline{A \cdot B + C \cdot D}$$

TIP	I _{OL}	I _{OH}	I _{IL}	I _{IH}	P _{cc}	t _{pd}	t _{pLH}	t _{pHL}	I _{CCH}	I _{CCL}
74	mA	mA	mA	μA	mW	ns	ns	ns	mA	mA
51	16	0,4	1,6	40	14	10,5	13	8	4	7,4
H51	20	0,5	2	50	29	6,5	6,8	6,2	8,2	15,2
S51	20	1	2	50	27	3,5	3,5	3,5	8,2	13,6
LS1	3,6	0,2	0,18	10	1,5	42	50	35	0,44	0,76
LS51	8	0,4	0,4	20	2,8	12	12	12,5	0,8	1,4

1A	1	1A	V _{cc}	14	V _{cc}
2A	2	2A	1C	13	1B
2B	3	2B	1B	12	
2C	4	2C	1F	11	
2D	5	2D	1E	10	1D
2Y	6	2Y	1D	9	1C
GND	7	GND	1Y	8	1Y

(L51,LS51 interior)

7452 EXPANDABLE 4-WIDE AND-OR GATES
V_{cc}=5V POARTA SI-SAU EXPANDABILA

$$Y = A \cdot B + C \cdot D \cdot E + F \cdot G + H \cdot I + X \quad (X = \text{OUTPUTS } 7461)$$

TIP	I _{OL}	I _{OH}	I _{IL}	I _{IH}	P _{cc}	t _{pd}	t _{pLH}	t _{pHL}	I _{CCH}	I _{CCL}
74	mA	mA	mA	μA	mW	ns	ns	ns	mA	mA
H52	20	0,5	2	50	87	10	10,6	9,2	20	15,2

$$Y = A \cdot B + C \cdot D + E \cdot F + G \cdot H + X$$

(varianta H52W - vezi interior)

A	1	A	B	14	V _{cc}
B	2	C	X	13	I
C	3	D	Y	12	H
D	4	V _{cc}	GND	11	G
E	5	E		10	F
	6	F	I	9	X
GND	7	G	H	8	Y

7453 EXPANDABLE 4-WIDE AND-OR-INVERT GATES
V_{cc}=5V POARTA SI-SAU-NU EXPANDABILA

$$Y = \overline{A \cdot B + C \cdot D + E \cdot F + G \cdot H + X} \quad (53) \quad X = \text{OUTPUT } 7460$$

$$Y = \overline{A \cdot B + C \cdot D + E \cdot F \cdot G + H \cdot I + X} \quad (H53) \quad X = \text{OUTPUT } 74H60; 74H62$$

TIP	I _{OL}	I _{OH}	I _{IL}	I _{IH}	P _{cc}	t _{pd}	t _{pLH}	t _{pHL}	I _{CCH}	I _{CCL}
74	mA	mA	mA	μA	mW	ns	ns	ns	mA	mA
53	16	0,4	1,6	40	23	10,5	13	8	4	5,1
H53	20	0,5	2	50	41	6,6	7	6,2	7,1	9,4

(H53 in interior)

A	1	A	V _{cc}	14	V _{cc}
C	2	C	B	13	B
D	3	D	X	12	X
E	4	E	X	11	X
F	5	F	I	10	H
	6	G	H	9	G
GND	7	GND	Y	8	Y

7454 4-WIDE AND-OR-INVERT GATES

V_{cc} = 5V POARTA SI-SAU-NU

$Y = A.B + C.D + E.F + G.H$ (54)

$Y = A.B + C.D + E.F.G. + H.I$ (H54)

$Y = A.B + C.D.E + F.G.H. + I.J$ (L54,LS54)

TIP	I _{OL}	I _{OH}	I _{IL}	I _{IH}	P _{cc}	t _{pd}	t _{pLH}	t _{pHL}	I _{CCH}	I _{CCL}
74	mA	mA	mA	μA	mW	ns	ns	ns	mA	mA
54	16	0,4	1,6	40	23	10,5	13	8	4	5,1
H54	20	0,5	2	50	41	6,5	7	6,2	7,1	9,4
L54	3,6	0,2	0,18	10	2,5	42	50	35	0,39	0,6
LS54	8	0,4	0,4	20	4,5	12	12	12,5	0,8	1

AAA	1	14	V _{cc}
CCB	2	13	jBB
DDC	3	12	I
EED	4	11	H
FFE	5	10	GIH
GY	6	9	FHG
GND	7	8	YYY

54 H54 L54 L54 H54 54

7455 2-WIDE 4-INPUT AND-OR-INVERT GATES

V_{cc} = 5V POARTA SI-SAU-NU

$Y = A.B.C.D + E.F.G.H + X$

(H55-EXPANDABLE; X = 74H62)

$Y = A.B.C.D + E.F.G.H$ (L55;LS55)

TIP	I _{OL}	I _{OH}	I _{IL}	I _{IH}	P _{cc}	t _{pd}	t _{pLH}	t _{pHL}	I _{CCH}	I _{CCL}
74	mA	mA	mA	μA	mW	ns	ns	ns	mA	mA
L55	3,6	0,2	0,18	10	1,5	41	50	35	0,22	0,38
LS55	8	0,4	0,4	20	2,8	12	12	12,5	0,4	0,7
H55	20	0,5	2	50	30	6,7	7	6,5	4,5	7,5

AA	1	14	V _{cc}
BB	2	13	HH
CC	3	12	GG
DD	4	11	FF
X	5	10	EE
	6	9	X
GND	7	8	YY

H55 L55 L55 H55

7460 DUAL 4-INPUT EXPANDERS

V_{cc} = 5V DOUA CIRCUITE DE EXPANDARE

$X = A.B.C.D$ (conectat la 7423;7450;7453;7455)

TIP	I _{OL}	I _{OH}	I _{IL}	I _{IH}	P _{cc}	t _{pd}	t _{pLH}	t _{pHL}	I _{CCH}	I _{CCL}
74	mA	mA	mA	μA	mW	ns	ns	ns	mA	mA
60			1,6	40	4	2	2	2	1,2	2
H60			2	50	6	2,7	4,2	1,2	1,9	3

1A	1	14	V _{cc}
1B	2	13	1D
1C	3	12	1X
2A	4	11	1X
2B	5	10	2X
2C	6	9	2X
GND	7	8	2D

7461 TRIPLE 3-INPUT EXPANDERS

V_{cc}=5V TREI CIRCUITE DE EXPANDARE

X = A.B.C (X conectat la 74H52)

TIP	I _{OL}	I _{OH}	I _{IL}	I _{IH}	P _{cc}	t _{pd}	t _{pLH}	t _{pHL}	I _{CCH}	I _{CLL}
74	mA	mA	mA	μA	mW	ns	ns	ns	mA	mA
H61			2	50	13	2,4	4,2	0,6	11	5

1A	1	14	V _{cc}
1B	2	13	3C
1C	3	12	3B
2A	4	11	3A
2B	5	10	3X
2C	6	9	1X
GND	7	8	2X

7462 4 WIDE AND-OR EXPANDERS

V_{cc}=5V CIRCUIT SI SAU DE EXPANDARE

X = A.B + C.D.E + F.G.H + i.j (X conectat la 74H50;74H53;74H55)

X = A.B.C + D.E + F.G + H.i.j (varianta H62w)

TIP	I _{IL}	I _{IH}	P _{cc}	t _{pd}	t _{pLH}	t _{pHL}	I _{CCH}	I _{CLL}
74	mA	μA	mW	ns	ns	ns	mA	mA
H62	2	50	24	2,2	3,2	1,2	6	3,8

A A	1	14	V _{cc} C
D B	2	13	j B
E C	3	12	i X
V _{cc} D	4	11	H GND
F E	5	10	G X
G X	6	9	F j
H GND	7	8	X i

H62w H62 H62 H62w

7463 HEX CURRENT-SENSING INTERFACE GATES

V_{cc}=5V SASE CIRCUITE DE INTERFATA

Y = A

TIP	I _{OL}	I _{OH}	I _{IL}	I _{IH}	P _{cc}	t _{pd}	t _{pLH}	t _{pHL}	I _{CCH}	I _{CLL}
74	mA	mA	μA	μA	mW	ns	ns	ns	mA	mA
LS63	8	0,4	50	200	40	21	27	15	8	-

1A	1	14	V _{cc}
1Y	2	13	6A
2Y	3	12	6Y
2A	4	11	5Y
3A	5	10	5A
3Y	6	9	4A
GND	7	8	4Y

4-2-3-2 INPUT AND-OR-INVERT GATES

7464 POARTA SI SAU NU

7465 POARTA SI SAU NU CU COLECTOR IN GOL V_{OH} = 5V

Y = A.B.C.D + E.F + G.HI + j.K

TIP	I _{OL}	I _{OH}	I _{IL}	I _{IH}	P _{cc}	t _{pd}	t _{pLH}	t _{pHL}	I _{CCH}	I _{CLL}
74	mA	mA	mA	μA	mW	ns	ns	ns	mA	mA
S64	20	1	2	50	39	3,5	3,5	3,5	7	8,5
S65	20	0,25	2	50	36	5,5	5	5,5	6	8,5

A	1	14	V _{cc}
E	2	13	D
F	3	12	C
G	4	11	B
H	5	10	K
i	6	9	j
GND	7	8	Y

7470 AND-GATED j-k POSITIVE-EDGE-TRIGGERED FLIP-FLOPS WITH PRESET AND CLEAR
 $V_{CC} = 5V$ BISTABIL CU SI PE INTRARILE j,k,DECLANSAT PE FRONT POZITIV,CU SET SI RESET

TIP	TACT	FRECV	P/F-F	tSETUP	tHOLD	t _{pd}	t _{pLH}	t _{pHL}
74		MHz	mW	ns	ns	ns	ns	ns
70	L-H	35	65	20	10	23	27	17

1	14	V_{CC}
CLR	2	13
j1	3	12
j2	4	11
\bar{j}	5	10
Q	6	9
GND	7	8
		Q

INPUTS					OUTPUTS	
PRSET	CLEAR	CLOCK	j	k	Q	\bar{Q}
L	H	L	X	X	H	L
H	L	L	X	X	L	H
L	L	X	X	X	L*	L*
H	H	↑	L	L	Q ₀	\bar{Q}_0
H	H	↑	H	L	H	L
H	H	↑	L	H	L	H
H	H	↑	H	H	Q ₀	Q ₀
H	H	L	X	X	Q ₀	Q ₀

$j = j1.j2.\bar{j}$
 $k = k1.k2.\bar{k}$

7471 AND-OR-GATES j-K MASTER-SLAVE FLIP-FLOPS WITH PRESET
 $V_{CC} = 5V$ BISTABIL STAPIN-SCLAV CU SI SAU PE INTRARILE j,k CU SET

TIP	TACT	FRECV	P/F-F	tSETUP	tHOLD	t _{pd}	t _{pLH}	t _{pHL}
74		MHz	mW	ns	ns	ns	ns	ns
H71	H-L	30	80	0	0	18	14	22
L71	H-L	3	3,8	0	0	42	35	60

INPUTS				H71		OUTPUTS	
PRESET	CLK	j	k	Q	\bar{Q}		
L	X	X	X	H	L		
H	↓	L	L	Q ₀	Q ₀		
H	↓	H	L	H	L		
H	↓	L	H	L	H		
H	↓	H	H	Q ₀	Q ₀		

j1A	1	14	V_{CC}
j1B	2	13	CK
j2A	3	12	K2B
j2B	4	11	K2A
PR	5	10	K1B
Q	6	9	K1A
GND	7	8	Q

$j = (j1A.j1B) + (j2A.j2B)$
 $K = (K1A.K1B) + (K2A.K2B)$

L71 AND-GATED R-S MASTER-SLAVE FLIP-FLOP WITH PRESET AND CLEAR

INPUTS					L71		OUTPUTS	
PRESET	CLEAR	CLOCK	R	S	Q	\bar{Q}		
L	H	X	X	X	H	L		
H	L	X	X	X	L	H		
L	L	X	X	X	H*	H*		
H	H	↓	L	L	Q ₀	Q ₀		
H	H	↓	H	L	H	L		
H	H	↓	L	H	L	H		
H	H	↓	H	H	*	*		

1	14	V_{CC}
CLR	2	13
S1	3	12
S2	4	11
S3	5	10
Q	6	9
GND	7	8
		Q

$R = R1.R2.R3$
 $S = S1.S2.S3$

* = configuratie nedeterminata
H* = configuratie nestabila

7472 AND-GATED j-K MASTER-SLAVE FLIP-FLOPS WITH PRESET AND CLEAR

V_{cc} = 5V BISTABIL j-K MASTER-SLAVE

TIP	TACT	FREC	P/F-F	t _{SETUP}	t _{HOLD}	t _{pd}	t _{pLH}	t _{pHL}
74		MHz	mW	ns	ns	ns	ns	ns
72	H-L	20	50	0↑	0↓	20	16	25
H72	H-L	30	80	0↑	0↓	18	14	22
L72	H-L	3	3,8	0↑	0↓	42	35	60

INPUTS				OUTPUTS		
PRSET	CLEAR	CLCK	j	K	Q	\bar{Q}
L	H	X	X	X	H	L
H	L	X	X	X	L	H
L	L	X	X	X	H*	\bar{H}^*
H	H	↓	L	L	Q ₀	\bar{Q}_0
H	H	↓	H	L	H	L
H	H	↓	L	H	L	H
H	H	↓	H	H	\bar{Q}_0	Q ₀

CLR	1	14	V _{cc}
	2	13	PR
j1	3	12	CK
j2	4	11	K3
j3	5	10	K2
\bar{Q}	6	9	K1
GND	7	8	Q

j = j1, j2, j3
R = R1, R2, R3

7473 DUAL j-K MASTER-SLAVE FLIP-FLOPS WITH CLEAR

V_{cc} = 5V DOUA BISTABILE j-K/M-S

TIP	TACT	FREC	P/F-F	t _{SETUP}	t _{HOLD}	t _{pd}	t _{pLH}	t _{pHL}
74		MHz	mW	ns	ns	ns	ns	ns
73	H-L	20	50	0↑	0↓	20	16	25
H73	H-L	30	80	0↑	0↓	18	14	22
L73	H-L	3	3,8	0↑	0↓	42	35	60
LS73A	H-L	45	20	20↓	0↓	15	15	15

1CK	1	14	j ₁
1CLR	2	13	$\bar{1Q}$
1K	3	12	1Q
V _{cc}	4	11	GND
2CK	3	10	2K
2CLR	2	9	$\bar{2Q}$
2j	1	8	$\bar{2Q}$

INPUTS 73, H73, L73				OUTPUTS	
CLEAR	CLOCK	j	k	Q	\bar{Q}
L	X	X	X	L	H
H	↓	L	L	Q ₀	\bar{Q}_0
H	↓	H	L	H	L
H	↓	L	H	L	H
H	↓	H	H	\bar{Q}_0	Q ₀

INPUTS LS73A				OUTPUTS	
CLR	CLCK	j	k	Q	\bar{Q}
L	X	X	X	L	H
H	↓	L	L	Q ₀	\bar{Q}_0
H	↓	H	L	H	L
H	↓	L	H	L	H
H	↓	H	H	\bar{Q}_0	Q ₀
H	H	X	X	Q ₀	\bar{Q}_0

7474 DUAL TIPE POSITIVE-EDGE-TRIGGERED FLIP-FLOPS WITH PRESET AND CLEAR
 Vcc=5V DOUA BISTABILE DE TIP D

TIP	TACT	FREC	P	tSEVP	tHOLD	tpd	tpLH	tpHL
74		MHz	mW	ns	ns	ns	ns	ns
74	L-H	25	43	20↑	5↑	17	14	20
H74	L-H	43	75	15↑	5↑	11	8,5	13
L74	L-H	3	4	50↑	15↑	65	65	65
LS74A	L-H	33	10	25↑	5↑	19	13	25
S74	L-H	110	75	3↑	2↑	6	6	6
ALS74	L-H	50	12	15↑	0↑	10	8	12

1CLR	1	14	Vcc
1D	2	13	2CLR
1CK	3	12	2D
1PR	4	11	2CK
1Q	5	10	2PR
1Q̄	6	9	2Q̄
GND	7	8	2Q

INPUTS 74			OUTPUTS		
PRESET	CLEAR	CLOCK	D	Q	Q̄
L	H	X	X	H	L
H	L	X	X	L	H
L	L	X	X	H*	H*
H	H	↑	H	H	L
H	H	↑	L	L	H
H	H	L	X	Qo	Q̄o

INPUT 75		OUTPUT	
D	E	Q	Q̄
L	H	L	H
H	H	H	L
X	L	Qo	Q̄o

7475 4-BIT BISTABILE LATCHES

Vcc=5V 4 BISTABILE D CU RETINERE

TIP	ENAB	FREC	P	tSET	tHOLD	tpd	tpLH	tpHL
74		MHz	mW	ns	ns	ns	ns	ns
75	H	25	160	20	5	15	16	14
L75	H	3	80	40	10	30	32	28
LS75	H	33	32	20	5	12	15	9

1Q	1	16	1Q
1D	2	15	2Q̄
2D	3	14	2Q
ENABLE 3-4	4	13	ENABLE 1-2
Vcc	5	12	GND
3D	6	11	3Q̄
4D	7	10	3Q
4Q̄	8	9	4Q

7476 DUAL j-k FLIP-FLOPS WITH PRESET AND CLEAR

Vcc=5V 2 BISTABILE j-k

TIP	TACT	FREC	P	tSEVP	tHOLD	tpd	tpLH	tpHL
74		MHz	mW	ns	ns	ns	ns	ns
76	H-L	20	50	0↑	0↑	22	16	25
H76	H-L	30	80	0↑	0↑	18	14	22
LS76A	H-L	45	10	20↓	0↑	15	15	15

1CK	1	16	1K
1PR	2	15	1Q̄
1CLR	3	14	1Q
1j	4	13	GND
Vcc	5	12	2K
2CK	6	11	2Q̄
2PR	7	10	2Q
2CLR	8	9	2j

7477 4-BIT BISTABLE LATCHES

V_{cc}=5V PATRU BISTABILE D CU RETINERE

TIP	TACT	FREC	P	t _{SET}	t _{HOLD}	t _{pd}	t _{pLH}	t _{pHL}
74		MHz	mW	ns	ns	ns	ns	ns
L77	H	3	80	40	10	30	32	28

1D	1	14	1Q
2D	2	13	2Q
ENABLE 3-4	3	12	ENABLE 1-2
V _{cc}	4	11	GND
3D	5	10	
4D	6	9	3Q
	7	8	4Q

TABELUL DE STARI IDENTIC 7475

7478 DUAL j-k FLIP-FLOPS WITH PRESET, COMMON CLEAR, COMMON CLOCK

V_{cc}=5V DOUA BISTABILE j-k

TIP	TACT	FREC	P	t _{SEUP}	t _{HOLD}	t _{pd}	t _{pLH}	t _{pHL}
74		MHz	mW	ns	ns	ns	ns	ns
H78	H-L	30	80	0↑	0↓	18	14	22
L78	H-L	3	3,8	0↑	0↓	42	35	60
LS78A	H-L	45	20	20↓	0↓	15	15	15

CK	1K	1	14	V _{cc}	1K
1PR	1Q	2	13	1PR	1Q
1j	1Q̄	3	12	CLR	1Q̄
V _{cc}	1j	4	11	2j	GND
CLR	2Q̄	5	10	2PR	2j
2PR	2Q	6	9	CK	2Q̄
2K	GND	7	8	2K	2Q
L78	H78			H78	L78
LS78A					LS78A

TABELUL DE STARI IDENTIC 7472

7480 GATED FULL ADDERS

V_{cc}=5V SUMATOR COMPLECT

TIP	I _{OL}	I _{OH}	I _{IL}	I _{IH}	P _{cc}	t _{pd}	t _{pLH}	t _{pHL}	I _{CC}
74	mA	mA	mA	μA	mW	ns	ns	ns	mA
80	16/8	0,4/0,2	1,6	15	105	57	52	62	21

B*	1	14	V _{cc}
Bc	2	13	B2
Cn	3	12	B1
Cn+14	14	11	Ac
S	5	10	A*
S̄	6	9	A2
GND	7	8	A1

INPUTS			OUTPUTS		
Cn	B	A	C _{n+1}	S	S
L	L	L	H	H	L
L	L	H	H	L	H
L	H	L	H	L	H
L	H	H	L	H	L
H	L	L	H	L	H
H	L	H	L	H	L
H	H	L	L	H	L
H	H	H	L	L	H

$$A = A_c + A^* + A1.A2$$

$$B = B_c + B^* + B1.B2$$

7481 16-BIT RANDOM ACCESS MEMORIES

V_{cc} = 5V MEMORIE DE 16-BITI CU ACCES DIRECT CU S IN GOL

TIP	I _{OL}	I _{OH}	I _{iL}	I _{iH}	P _{cc}	t _{pd}	t _{pHL}	t _{pLH}	t _{SR}
74	mA	μA	mA	μA	mW	ns	ns	ns	ns
81	40	250	1,6/11	40/400	225	12,5	12	13	13

X1-X4 } W-INPUT
 ADDRESS
 Y1-Y4 } S-OUTPUT

X3	1	14	X4
X2	2	13	WRITE 1
X1	3	12	SENSE 1
V _{cc}	4	11	SENSE 0
Y1	5	10	GND
Y2	6	9	WRITE 0
Y3	7	8	Y4

7482 2-BIT BINARY FULL ADDERS

V_{cc} = 5V SUMATOR COMPLECT PE 2 BITI

TIP	I _{OL}	I _{OH}	I _{iL}	I _{iH}	P _{cc}	t _{pd}	t _{pLH}	t _{pHL}
74	mA	mA	mA	μA	mW	ns	ns	ns
82	16	0,4	1,6/6,4	40/160	175	37,5	40	35

S1	1	14	A2
A1	2	13	B2
B1	3	12	S2
V _{cc}	4	11	GND
C0	5	10	C2
	6	9	
	7		

7483 4-BIT BINARY FULL ADDERS WITH FAST CARRY

V_{cc} = 5V SUMATOR BINAR PE 4 BITI CU TRANSPORT RAPID

TIP	I _{OL}	I _{OH}	I _{iL}	I _{iH}	P _{cc}	t _{pd}	t _{pLH}	t _{pHL}
74	mA	mA	mA	μA	mW	ns	ns	ns
83	16	0,8	1,6	40	330	16	16	16
LS83A	8	0,4	0,8	40	95	15,5	16	15

A4	1	16	B4
S3	2	15	S4
A3	3	14	C4
B3	4	13	C0
V _{cc}	5	12	GND
S2	6	11	B1
B2	7	10	A1
A2	8	9	S1

7484 16-BIT RANDOM ACCESS MEMORIES

V_{cc} = 5V MEMORIE CU ACCES DIRECT PE 16 BITI

TIP	I _{OL}	I _{OH}	I _{iL}	I _{iH}	P _{cc}	t _{pd}	t _{pLH}	t _{pHL}	t _{SR}
74	mA	μA	mA	μA	mW	ns	ns	ns	ns
84	40	250	1,6/11	40/400	225	12,5	12	13	13

X1-X4 } W1 = W1(A), W1(B)
 ADDRESS
 Y1-Y4 } W0 = W0(A), W0(B)
 W-INPUT
 S-OUTPUT WITH OPEN COLLECTOR

X4	1	16	1(A)WRITE
X3	2	15	1(B)WRITE
X2	3	14	1SENCE
X1	4	13	0SENCE
V _{cc}	5	12	GND
Y1	6	11	0(A)WRITE
Y2	7	10	0(B)WRITE
Y3	8	9	Y4

7485 4-BIT MAGNITUDE COMPARATORS

Vcc=5V COMPARATOR PE 4 BITI

TIP	I _{OL}	I _{OH}	I _{iL}	I _{iH}	P _{cc}	t _{pd}	t _{pLH}	t _{pHL}
74	mA	mA	mA	μA	mW	ns	ns	ns
85	16	0,4	1,6/4,8	40/160	275	21	23	20
L85	3,6	0,2	0,18/0,54	10/30	16	82	90	75
LS85	8	0,4	0,4/1,2	20/60	52	25	27	23
S85	20	1	2/6	50/150	550	11	12	11'

INPUTS	B3	1	16	Vcc
	A < B	2	15	A3
	A = B	3	14	B2
	A > B	4	13	A2
OUTS	A > B	5	12	A1
	A = B	6	11	B1
	A < B	7	10	A0
	GND	8	9	B0

WORD LENGTH	NR. OF PK.	85	L85	LS85	S85
1-4 BITS	1	23 ns	90 ns	24 ns	11 ns
5-24	2-6	46 ns	180ns	48 ns	22 ns
25-120	8-31	69 ns	270ns	72 ns	33 ns

7486 QUADRUPLE 2-INPUT EXCLUSIVE-OR GATES

Vcc=5V PATRU PORTI SAU-EXCLUSIV CU 2 INTRARI

$$Y = A \oplus B$$

TIP	I _{OL}	I _{OH}	I _{iL}	I _{iH}	P _{cc}	t _{pd}	t _{pLH}	t _{pHL}	P _{cc/p}
74	mA	mA	mA	μA	mW	ns	ns	ns	mW
86	16	0,8	1,6	40	150	14	16	12	38
L86	3,6	0,2	0,36	20	19	55	62	47	4,75
LS86	8	0,4	0,8	40	30,5	14	16	12	7,6
S86	20	1	2	50	250	7	7	6,5	63

1A	1	14	Vcc
1B	2	13	4B
1Y	3	12	4A
2A	4	11	4Y
2B	5	10	3B
2Y	6	9	3A
GND	7	8	3Y

7487 4-BIT TRUE/COMPLEMENT,ZERO/ONE ELEMENTS

Vcc=5V

TIP	I _{OL}	I _{OH}	I _{iL}	I _{iH}	P _{cc}	t _{pd}	t _{pLH}	t _{pHL}
74	mA	mA	mA	μA	mW	ns	ns	ns
H87	20	1	2	50	270	17	17	17

C	1	14	Vcc
A1	2	13	A4
Y1	3	12	Y4
	4	11	
A2	5	10	A3
Y2	6	9	Y3
GND	7	8	B

CONTROL INPUTS		OUTPUTS			
B	C	Y1	Y2	Y3	Y4
L	L	A1	A2	A3	A4
L	H	A1	A2	A3	A4
H	L	H	H	H	H
H	H	L	L	L	L

7488 256-BIT READ-ONLY MEMORIES (ROM)

V_{cc} = 5V 32 x 8 BIT WORDS OPEN COLLECTOR OUTPUTS

7488			7489				
D01	1	16	V _{cc}	ADA	1	16	V _{cc}
D02	2	15	CS	ME	2	15	ADB
D03	3	14	ADE	WE	3	14	ADC
D04	4	13	ADD	DI1	4	13	ADD
D05	5	12	ADC	D01	5	12	DI4
D06	6	11	ADB	DI2	6	11	D04
D07	7	10	ADA	D02	7	10	DI3
GND	8	9	D08	GND	8	9	D03

7489 64-BIT READ/WRITE MEMORIES

V_{cc} = 5V 16 x 4 BIT WORDS

7490 DECADE COUNTER

V_{cc} = 5V DIVIDE-BY-TWO AND DIVIDE-BY-FIVE

NUMARATOR DECADIC (DIVIZOR DE 2 SI 5)

7491 8-BIT SHIFT REGISTERS

V_{cc} = 5V REGISTRU DE DEPLASARE PE 8 BITI

TIP	TACT	FREC	t _{pH}	t _{pLH}	P _{CC}
74		MHz	ns	ns	ns
91A	L-H	18	24	27	175
L91	L-H	6,5	55	100	17,5
LS91	L-H	18	24	27	60

INPUTS		OUTPUTS	
A	B	QH	QH
H	H	H	L
L	X	L	H
X	L	L	H

1	14	QH
2	13	QH
3	12	INPUT A
4	11	INPUT B
5	10	GND
6	9	CLOCK
7	8	

7492 DIVIDE-BY-TWELVE COUNTERS

NUMARATOR DIVIZOR PRIN 12

7493 4-BIT BINARY COUNTERS

V_{cc} = 5V NUMARATOR BINAR DE 4 BITI

INTB	1	14	INTA	INTB	1	14	INTA	INTB	1	14	INTA	R0(1)	1	14	INTA	
R0(1)	2	13			2	13			R0(1)	2	13		R0(2)	2	13	QA
R0(2)	3	12	QA		3	12	QA		QA	R0(2)	3	12	QA			QD
	4	11	QD		4	11	QD		QB		4	11	QD			GND
V _{cc}	5	10	GND	V _{cc}	5	10	GND	V _{cc}	GND	V _{cc}	5	10	GND			QC
R9(1)	6	9	QB	R0(1)	6	9	QC		QC		6	9	QB			QB
R9(2)	7	8	QC	R0(2)	7	8	QD		QD		7	8	QD			INTB
	90A				92A				93A							L93
	L90				LS92				LS93							
	LS90															

NR.	OUTPUT			
	QD	QC	QB	QA
0	L	L	L	L
1	L	L	L	H
2	L	L	H	L
3	L	L	H	H
4	L	H	L	L
5	L	H	L	H
6	L	H	H	L
7	L	H	H	H
8	H	L	L	L
9	H	L	L	H

QA conectat la
int.B

NR.	OUTPUT			
	QA	QD	QC	QB
0	L	L	L	L
1	L	L	L	H
2	L	L	H	L
3	L	L	H	H
4	L	H	L	L
5	H	L	L	L
6	H	L	L	H
7	H	L	H	L
8	H	L	H	H
9	H	H	L	L

QD conectat la
int.A

NR.	OUTPUT			
	QD	QC	QB	QA
0	L	L	L	L
1	L	L	L	H
2	L	L	H	L
3	L	L	H	H
4	L	H	L	L
5	L	H	L	H
6	H	L	L	L
7	H	L	L	H
8	H	L	H	L
9	H	L	H	H
10	H	H	L	L
11	H	H	L	H

QA conectat la
int.B

NR	OUTPUT			
	QD	QC	QB	QA
0	L	L	L	L
1	L	L	L	H
2	L	L	H	L
3	L	L	H	H
4	L	H	L	L
5	L	H	L	H
6	L	H	H	L
7	L	H	H	H
8	H	L	L	L
9	H	L	L	H
10	H	L	H	L
11	H	L	H	H
12	H	H	L	L
13	H	H	L	H
14	H	H	H	L
15	H	H	H	H

QA conectat la
int B

TIP	TACT	FREQ	Pcc	IL	I _H	t _{PLH}	t _{PHL}	t _{SETUP}
74		MHz	mW	mA	μA	ns	ns	ns
90A	H-L	42	145	4,8	120	32	34	25
L90	H-L	6	20	1,08	60	230	230	
LS90	H-L	42	45	3,2	80	32	34	25
92A	H-L	42	130	4,8	120	32	34	25
LS92	H-L	42	45	3,2	80	32	34	25
93A	H-L	42	130	3,2	80	46	46	25
L93	H-L	6	16	0,36	20	280	280	
LS93	H-L	42	45	2,4	80	46	46	25

RESET/COUNT FUNCTION TABLE
90A,LS90,L90

RESET INPUTS				OUTPUTS			
R0(1)	R0(2)	R9(1)	R9(2)	QD	QC	QB	QA
H	H	L	X	L	L	L	L
H	H	X	L	L	L	L	L
X	X	H	H	H	L	L	H
X	L	X	L	COUNT			
L	X	L	X	COUNT			
L	X	X	L	COUNT			
X	L	L	X	COUNT			

RESET/COUNT FUNCTION TABLE
92A,LS92,93A,LS93,L93

RESET		OUTPUTS			
R0(1)	R0(2)	QD	QC	QB	QA
H	H	L	L	L	L
L	X	COUNT			
X	L	COUNT			

7494 4-BIT-SHIFT REGISTER/DUAL ASYNCHRONOUS PRESET

V_{cc} = 5V REGISTRU DE DEPLASARE PE 4 BITI CU DOUA INTRARI ASINCROANE DE PUNERE PE "1"

PRESET				INTERN	INTERN.PRESET				INPUTS			INTERN OUT OUT.			
PE1	P1i	PE2	P2i	PRESET	A	B	C	D	CLR	CLK	SER	QA	QB	QC	QD
L	X	L	X	H	H	H	H	H	H	X	X	L	L	L	L
L	X	X	L	H	L	L	L	L	L	X	X	H	H	H	H
X	L	L	X	H	H	H	H	H	L	L	X	QA0	QB0	QC0	QD0
X	L	X	L	H	L	H	L	H	L	L	X	H	QB0	H	QD0
H	H	X	X	L(act.)	H	H	H	H	L	↑	H	H	QA _n	QB _n	QC _n
X	X	H	H	L(act.)	H	H	H	H	L	↑	L	L	QA _n	QB _n	QC _n

P1i = int.P1A,P1B,P1C,P1D

P2i = int.P2A,P2B,P2C,P2D

i = internal A,B,C,D

QA0,QB0,QC0,QD0 - nivel QA,QB,QC,QD inainte CLOCK

QA_n,QB_n,QC_n,QD_n - nivel QA,QB,QC,QD dupa CLOCK

P1A	1	16	P2A
P1B	2	15	PE2
P1C	3	14	P2B
P1D	4	13	P2C
V _{cc}	5	12	GND
PE1	6	11	P2D
SER.IN.	7	10	CLEAR
CLOCK	8	9	OUT.

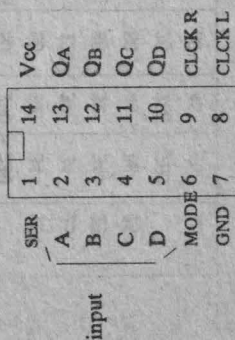
REG. DE DEPLASARE DE TIP INTRARE SERIE-IESIRE SERIE
INTRARE PARALELA-IESIRE SERIE

TIP	FREC	P _{cc}	I _{iH}	I _{iL}	t _{pLH}	t _{pHL}	t _{SETUP}
74	MHz	mW	uA	mA	ns	ns	ns
94	10	175	160	6,4	25	25	35

t _{hold}	ns	0	120	10
t _{SU}	ns	15	100	20
t _{pHL}	ns	21	125	21
t _{pLH}	ns	18	115	18
I _{iL}	ma	3,2	0,36	0,4
I _{iH}	uA	80	20	20
P _{cc}	mW	195	19	65
FREC	MHz	36	5	36
TIP	74	95A	L95	LS95A

7495 4-BIT PARALLEL-ACCESS SHIFT REGISTERS
REGISTRU DE DEPLASARE PE 4 BITI CU ACCES PARALEL

INPUTS				OUTPUTS				
MODE	CLOCKS	SER	PARALLEL	QA	QB	QC	QD	
CNTRL	2(L)	1(R)	A B C D					
H	H	X	X	X	X	X	X	QA0 QB0 QC0 QD0
H	↓	X	X	a	b	c	d	a b c d
H	↓	X	X	QB↑	QC↑	Qd↑	d	QB _n QC _n QD _n d
L	L	H	X	X	X	X	X	QA0 QB0 QC0 QD0
L	X	↓	H	X	X	X	X	H QA _n QB _n QC _n
L	X	↓	L	X	X	X	X	L QA _n QB _n QC _n
↑	L	L	X	X	X	X	X	QA0 QB0 QC0 QD0
↓	L	L	X	X	X	X	X	QA0 QB0 QC0 QD0
↓	L	H	X	X	X	X	X	QA0 QB0 QC0 QD0
↑	H	L	X	X	X	X	X	QA0 QB0 QC0 QD0
↑	H	H	X	X	X	X	X	QA0 QB0 QC0 QD0



INDEX NUMERIC

TIP	PAG	TIP	PAG	TIP	PAG	TIP	PAG
7400	6	7414		74LS40		74L74	
74LS00		74LS14		74S40		74LS74A	
74S00		74H15		74ALS40		74S74	
74ALS00		74LS15		74H40		74ALS74	
74L00		74S15		7442A		7475	
74H00		74ALS15		74L42		74L75	
7401		7416		74LS42		74LS75	
74H01		7417	11	7443A	16	7476	
74L01		74LS18		74L43		74H76	
74LS01		74LS19		7444A		74LS76A	
74ALS01		7420		74L44		74L77	25
7402		74LS20		7445	17	74H78	
74L02		74S20		7446A		74L78	
74LS02		74ALS20		74L46		74LS78A	
74S02		74H20		7447A		7480	
74ALS02		74L20		74L47		7481	26
7403	7	74LS21	12	74LS47		7482	
74LS03		74ALS21		7448		7483A	
74S03		74H21		74LS48		74LS83A	
74ALS03		7422		7449		7484	
74L03		74LS22		74LS49		7485	27
7404		74S22		7450	18	74L85	
74LS04		74ALS22		74H50		74LS85	
74S04		74H22		7451	19	74S85	
74ALS04		7423		74H51		7486	
74H04		74LS24		74S51		74L86	
74L04		7425	13	74L51		74LS86	
7405		7426		74LS51		74S86	
74LS05		74LS26		74H52		74H87	
74S05		7427		7453		7488	28
74H05		74LS27		74H53		7489	
74ALS05		74ALS27		7454	20	7490A	29
7406	8	7428		74H54		74L90	
7407		74LS28		74L54		74LS90	
7408		74ALS28		74LS54		7491A	
74LS08		7430	14	74L55		74L91	
74S08		74LS30		74LS55		74LS91	
74ALS08		74S30		74H55		7492A	
7409		74ALS30		7460		74LS92	
74LS09		74H30		74H60		7493A	
74S09		74L30		74H61	21	74L93	
74ALS09		7432		74H62		74LS93	
7410	9	74LS32		74LS63		7494	30
74H10		74S32		74S64		7495A	
74L10		74ALS32		74S65		74L95	
74LS10		7433		7470	22	74LS95A	
74S10		74LS33		74H71		7496	31
74ALS10		74ALS33		74L71		74L96	
74H11		7437	15	7472	23	74LS96	
74LS11		74LS37		74H72		7497	
74S11		74S37		74L72			
74ALS11		74ALS37		7473			
7412		7438		74H73			
74LS12		74LS38		74L73			
74ALS12		74S38		74LS73A			
7413	10	74ALS38		7474	24		
74LS13		7440		74H74			

In seria SOFTWARE vor mai apare:
- Memento MSDOS
- Memento FORTRAN 77 (PC)
- Memento COBOL (PC)

D/D-na/Dra/ (Numele) (Prenumele)
Adresa tel.
Localitatea Codul judetul
Reprezentant(a) al firmei (daca este cazul)
Solicita un numar de reviste din seria
nr. in numerar prin virament
Plata se va face din contul nr. deschis la

Semnatura,
Stampila firmei

*Dupa epuizarea tirajului, se vor onora comenzile prioritare in ordinea sosirii numai in cazul reeditarii.
* Asiguranza expedierii la domiciliu contra taxelor postale in vigoare

In seria **HARDWARE** vor mai apare :
- Arhitecturi sistolice de calculatoare
- catalog de circuite logice integrate (continuare)

AS COMPUTER R.M.S.
1900 Timisoara
Str. Gh. Lazar Nr. 30-32 Ap. 1
tel. 961/24117

Se primesc de asemenea comenzi ferme
pentru produsele si serviciile firmei

50 lei

